м. д. бурдыкина ВАЛАНЖИНСКИЕ АММОНИТЫ О-ВА БОЛ. БЕГИЧЕВ

Приведены разрез валанжинских отложений, описание и изображения Bochianites demissuss Bodyl., Neocraspedites giganteusImlay, Polyptychites (P.) cf. polyptychus Bogosl. (non Keys.) Аммониты Neocraspedites giganteus Imlay и Dichotomites (D.) cf. bidichotomus Pavl. (non Leym.) впервые найдены на о-ве Бол. Бегичев.

Впервые валанжинские окаменелости с о-ва Бол. Бегичев (без привязки к отложениям, заключающим эти окаменелости) были изучены Д. Н. Соколовым [5]. Им описан и изображен Olcostephanus cf. polyptychus Keys., а в списках упомянут Olcostephanus ramulicosta Pavl. Из коллекций Ю. А. Колодяжного (1935 г.) и М. М. Шлейфера (1951 г.) В. И. Бодылевский [2] описал новый вид аммонита — Bochianites demissus Bodyl. Позднее З. З. Ронкина и др. [3] изучили выходы келловея и валанжина, фауну из которых определяла Н. И. Шульгина.

Разрез валанжина (рис. 1) начинается оскольчатыми аргиллитами мощностью 6 м, обнажающимися в руслах двух ручьев, впадающих в море в 500 м к западу от устья р. Иннокентьевка, где была обнаружена фауна Polyptychites cf. ramulicosta (Pavl.) с Buchia sibirica (Sok.) и В. bulloides (Lah.) [3], указывающая на наличие на острове верхней части нижнего валанжина (зона michalskii). Остальные аммониты — Neocraspedites cf. liapinensis Bodyl., Polyptychites sp. (? Dichotomites sp.) и Bochianites sp. (? demissus Bodyl.) — свидетельствуют о поздневаланжинском возрасте вмещающих отложений. Контакт валанжина и келловея скорее всего тектонический (он не вскрыт в обнажениях). Мощность валанжина 60 м. Выше без видимого перерыва залегают песчаноалевритовые отложения, предположительно отнесенные к морскому нижнему готериву.

Новые исследования на о-ве Бол. Бегичев предприняты в 1973 г. совместно сотрудниками НИИГА и ИГиГ СО АН СССР. Среди отложений валанжина, обнажающихся в юго-восточной части острова, к югу от устья Иннокентьевки и до мыса Медвежьего (рис. 2), описанных В. А. Басовым и В. Н. Зенковым при участии М. Д. Бурдыкиной, С. В. Мелединой и Т. И. Нальняевой, выделены глинистая, песчано-алевритовая и алеврито-песчаная толщи поздневаланжинского возраста (см. рис. 1). Фауна из них определялась М. Д. Бурдыкиной (аммониты), Т. И. Нальняевой (белемниты), В. А. Захаровым (двустворчатые моллюски).

Глинистая толща (мощность более 16 м; обн. 504) состоит из глин серых, аргиллитоподобных, алевритистых, оскольчатых, с прослоями конкреций глинистого известняка или сидерита (через 2—3 м). В ней встречены мелкие столбчатые стяжения пирита и богатый комплекс фауны мелких и средних размеров: Bochianites demissus Bodyl., Neocraspedites giganteus Imlay, Neocraspedites sp. juv., Polyptychites (P.) cf. polyptychus Bogosl (non Keys.) Dichotomites (D.) cf. bidichotomus Pavl. (non Leym.) Acroteuthis (A.) arctica Bluthg, Buchia cf. sublaevis (Keys.), B. sp. indet. Astarte (Carinastarte) buchiana (Orb.), Camptonectes (C.) ex gr. lens (Sow.), Malletia taimyrica Sanin, Nuculana (Jupiteria) subrecurva (Phill.)

Песчано-алевритовая толща (мощность 26,6 м; обн. 505—506) делится на четыре пачки.

Пачка 1— глины аргиллитоподобные с выцветами ярозита; в основании пропласток в 5 см вязкой серой глины. Встречены обломки обугленной древесины и растительный детрит.

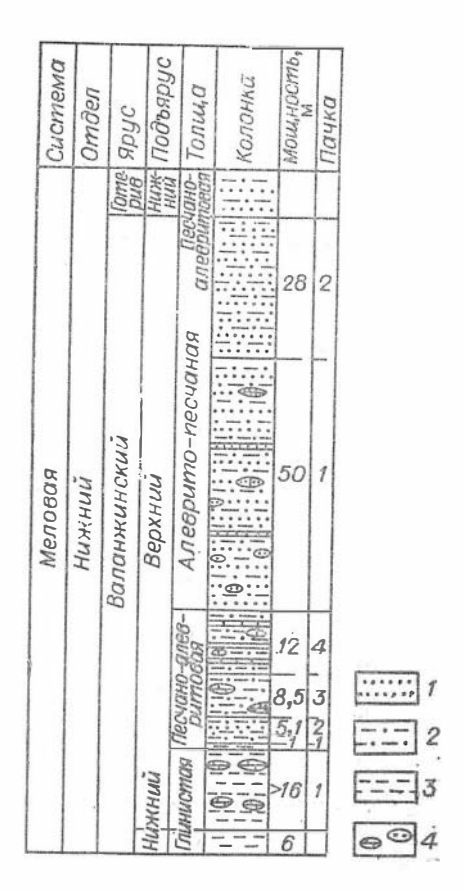
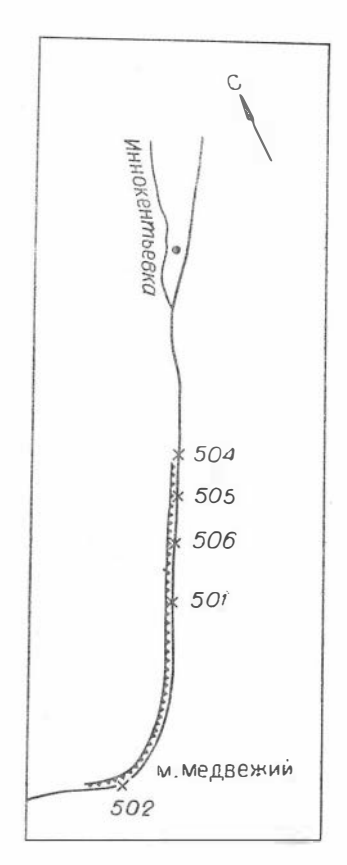


Рис. 1. Разрез отложений валанжина о-ва Бол. Бегичев (по В. Н. Зенкову, В. А. Басову п М. Д. Бурдыкиной).

1 — песчаник; 2 — алевролит; 3 — аргиллит; 4 — известняки и песчаники.



Puc. 2. Схема расположения валанжинских отложений на побережье о-ва Бол. Бегичев.

Пачка 2— алевролиты серые, глинистые, тонкоплитчатые и тонкослоистые с растительным детритом и слюдой, вверху с тонким прослоем песчаника с Camptonectes (C.) cf. lens (Sow.). Мощность пачки 5,1 м.

Пачка 3— в основании пласт алевролита серого, известковистого (0,2—0,3 м), выше — аргиллиты серые, тонкослоистые с прослойками аргиллитоподобных глин и песчанистых алевролитов с мелкой фауной Polyptychites (P.) cf. polyptychus (Bogosl.), Buchia sublaevis (Keys) и мелких брахиопод. Редко наблюдаются метровые линзы светло-серых известковистых горизонтально-слоистых алевролитов с отпечатками обугленных древесных стволов и детритом. В осыпи найдены Cylindroteuthis (Arctoteuthis) repentina Sachs et Naln. и Buchia sublaevis (Keys.)

Пачка 4— алевролиты серые, волнисто-слоистые, с известковистыми линзами и линзовидным переслаиванием песчаного и алевритового

материала, с остатками Buchia sp. indet.

Алеврито-песчаная толща имеет мощность 78,0 м (обн. 501). Нижняя часть представлена существенно песчаной пачкой с полосчатой текстурой, сложенной чередованием светло-серого и темного мелковернистого песчаника с линзочками глин, углей, яротизированных обугленных слойков. В сером песчанике встречены Dichotomites sp. (? HomoIsomites sp.), Buchia sp. indet., Inoceramus sp. indet.

Верхние 28 м толщи представлены переслаиванием песчаного и

алевритового материала; встречены прослои песчаника до 0,2 м. В 8 м ниже кровли наблюдается пласт известковистого песчаника мощностью 0,8 м со звездчатыми стяжениями кальцита. Определены двустворчатые моллюски: Buchia cf. sublaevis (Keys.) Entolium demissum (Phill.),

Solemya sp. indet.

Выше, в разрезе нижнего мела, без видимого перерыва залегает песчано-алевритовая толща (60 м; юго-восточная часть острова, обн. 502; бассейн р. Быстрой, обн. 628), условно отнесенная нами к нижнему готериву по присутствующей здесь фауне Homolsomites sp. (? Dichotomites sp.), Buchia sublaevis (Keys.), B. crassicollis (Keys.), Astarte (Carinastarte) sp. indet. и др. Морские осадки нижнего готерива перекрываются песками тигянской свиты угленосной толщи.

Впервые для острова и вообще для территории СССР описаны аммониты Neocraspedites giganteus Imlay, которые до сих пор были известны лишь в Калифорнии и Западной Канаде [6, 7]. Это указывает на широкие связи в валанжинское время между северной частью Тихого океана и Арктическим бассейном, устанавливаемые и по другим груп-

пам фаун [4].

Также впервые найденный на о-ве Бол. Бегичев Dichotomites (D.) cf. bidichotomus (Pavl.) позволяет выделить верхнюю зону валанжина, а Homolsomites sp. (? Dichotomites sp.) указывает на готеривский возраст

перекрывающих отложений.

При описании аммонитов приняты следующие сокращения: Д — диаметр раковины; в — внутренняя, В — внешняя высота оборота; Т — толщина раковины; П — диаметр пупка раковины; Рпо — число ребер на полоборота (в числителе — на наружной стороне, в знаменателе — на пупковом крае), Рчо — то же, на четверть оборота.

Фотографии аммонитов выполнены в ЛГЎ Б. С. Погребовым. Оригиналы хранятся в ЦГМ им. Ф. Н. Чернышева, кол. № 11 901, экз.

№ 1—28, о-в Бол. Бегичев, верхний валанжин.

СЕМЕЙСТВО OLCOSTEPHANIDAE HANG, 1910 ПОДСЕМЕЙСТВО CRASPEDITINAE SPATH, 1924

Neocraspedites Spath, 1924

Neocraspedites giganteus Imlay Табл. I, фиг. 1—7

Neocraspedites giganteus: Imlay, 1960, с. 204—205, табл. 32, фиг. 1—6. Голотип: Neocraspedites giganteus Imlay, изображен в работе R. W. Imlay, 1960, табл. 32, фиг. 6, № NUSNM 23088 from USGS Mes. loc. 1009 из верхних слоев с Buchia crassicollis (Keys.) из района Паскенти, местности Техама, штат Калифорния; верхний валанжин [6].

Форма. Раковины мелких и средних размеров, средней толщины с почти полностью объемлющими оборотами. Сечение овальное, высокое, слегка зауженное; с ростом раковины немного вытягивается. Раковины уплощенные, бока слабовыпуклые. Пупок узкий, сравнительно мелкий.

Жилая камера занимает целый оборот. Устье не наблюдалось.

Скульптура. На внутренних оборотах — едва заметные струйки. При $\mathcal{I} > 10$ мм у пупкового перегиба наблюдаются частые прямые рельефные ребра, направленные вперед, приблизительно на середине боковой стороны разделяющиеся на две-три тонкие ветви. При $\mathcal{I} = 12 \div 40$ мм вторичных ребер насчитывается от 4 до 6 на одно пупочнов. На середине боковой стороны ребра сглаженные, на периферии отчетливые. Вторичные ребра имеют форму полого выгнутой назад дуги, у

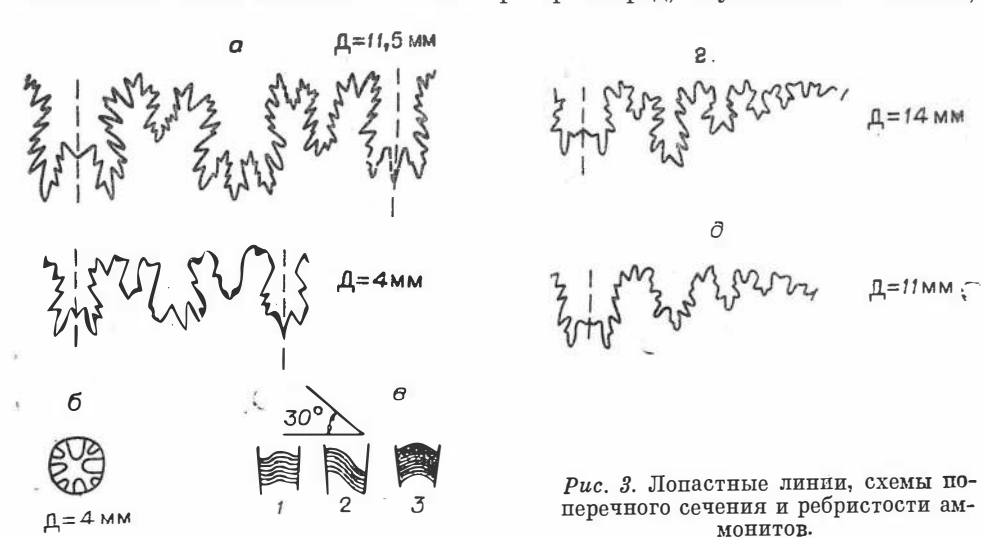
Номер из табл I.	д	В	В	Т	п	Рпо	Примечание
2 3	8,0 12,5	2,5(0,31) 3,6(0,28)	3,7(0,46) 6,0(0,48)	3,0(0,38) 4,5(0,36)	1,9(0,23) 2,5(0,20)	$\sim \frac{45}{10}$	_
1	12,6	4,2(0,34)	6,6(0,52)	4,4(0,37)	2,0(0,16)	Частые струйки	Развалился
4	15,0	5,0(0,33)	8,0(0,53)	4,7(0,31)	2,1(0,14)	Сглажено ~12	_
6 внутрен- ний обо-	19,5	6,5(0,33)	11,0(0,62)	6,0(0,30)	_	<u>Много</u>	4 наружных ребра на 1 пупочное
рот 7	38,0	12,0(0,32)	19,5(0,51)	7,0(0,19)	5,0(0,13)	<u>Много</u> ∼14	4—6 наруж- ных ребер на 1 пупоч- ное
5	48,0	14,0(0,30)	26,5(0,55)	_	_	Много	_

вентральной стороны наклонены вперед и пересекают ее с небольшим изгибом к устью (табл. 1).

Лопастная линия. На рис. З г и фиг. 1, а (табл. I) хорошо видна лопастная линия. Она состоит из четырех сравнительно узких дополнительных лопастей. Вентральная лопасть широкая и двураздельная, боковая длиннее вентральной, а первая боковая в два раза короче предыдущей.

Сравнение и замечания. Neocraspedites giganteus Imlay отличается от других видов Neocraspedites большим количеством изящных, очень тонких ребер по периферии раковины и более узким пупком.

Исключительное сходство с описываемыми экземплярами имеют Wellsia oregonensis (Anderson) ([6], табл. 32, фиг. 7—14). Последние отличаются более сильным изгибом ребер вперед, зауженным сечением,



a — лопастные линии Bochianites demissus Bodyl. (с обломков, не помещенных в таблицы); b — поперечное сечение Bochianites demissus Bodyl.; b — схема ребристости Bochianites demissus Bodyl. (I — вид спереди, D — сбоку, D — саади); D — лопастная линия Neocraspedites giganteus Imlay (см. табл. 1, фиг. 1); D — лопастная линия Polyptychites cf. polyptychus (Keys.) (см. табл. II, фиг. 7).

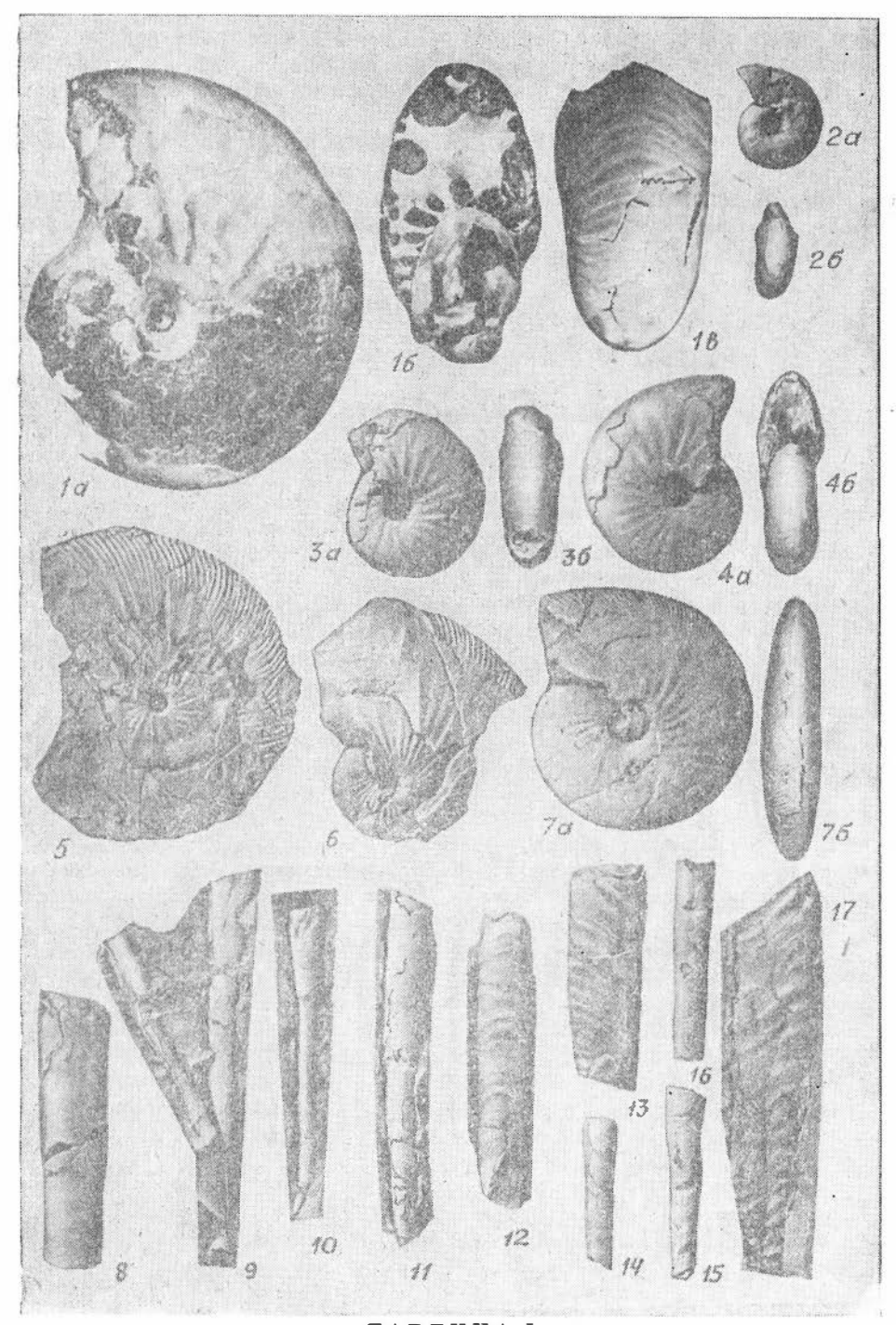


ТАБЛИЦА І Фиг. 1—7. Neocraspedites giganteus Imlay.

Фиг. 1 (×5) — обр. 504 Д; a — вид слева, 6 — со стороны устья, s — с сифональной стороны; № 1/11901. Фиг. 2 и 3 (×2) — обр. 504 Е; a — вид слева, 6 — с сифональной стороны; № 2/11901 и 3/11901. Фиг. 4 (×2) — обр. 504 Е; a — вид справа, 6 — со стороны устья; № 4/11901. Фиг. 5—7 (натуральная величина) — обр. 504 Е; a — вид справа, 6 — со стороны устья; № 4/11901. Фиг. 5—7 (втуральная величина) — обр. 504 Е; 6 — вид справа, 6 — с сифональной стороны; № (5—7)/11901.

Фиг. 8—17. Bochianites demissus Bodyl. Натуральная величина.

Фиг. 8, 14 — обр. 504 В; № 8/11901 и 14/11901. Фиг. 9 — обр. 504 Е; № 9/11901. Фиг. 10 — обр 504-1; № 10/11901. Фиг. 11—13, 15—17 — обр. 504 Д; № (11—13) и (15—17)/11901.

более узким пупком, более сильным понижением ребер на середине сифональной стороны и раннеготеривским возрастом.

Распространение. Поздний валанжин Калифорнии и Северной

Сибири (о-в Бол. Бегичев).

Материал. 20 более или менее целых и смятых мелких и средних ядер с частично сохранившимся раковинным слоем и несколько обломков и отпечатков с юго-восточного побережья о-ва Бол. Бегичев. Найдены в темных аргиллитах и песчаных конкрециях (обн. 504, слои В, Д, Е; сборы М. Д. Бурдыкиной).

СЕМЕЙСТВО BOCHIANITIDAE SPATH, 1922

ПОДСЕМЕЙСТВО BOCHIANITINAE SPATH, 1922 [9]

Род Bochianites Lory, 1898

Bochianites demissus Bodylevsky Табл. I, фиг. 8—17

Bochianites demissus: Бодылевский, 1960, с. 175—176, табл. 39, фиг. 3 и 4, рис. 30.

Голотип изображен в той же работе, табл. 39, фиг. 4; музей ЛГИ,

№ 7/234; о-в Бол. Бегичев; верхний валанжин [2].

Форма. Раковина прямая, цилиндрическая, постепенно расширяющаяся к жилой камере и сужающаяся к другому концу. Поперечное сечение округлое, слегка сдавленное с боков.

Все раковины обломаны (табл. 2). На некоторых из них сохранились лопастные линии (рис. 3, *a*). Устье и протяженность жилой камеры не установлены. Наблюдаются единичные неглубокие пережимы.

Скульптура. Все экземпляры с Д<6 мм имеют гладкие ядра, а на тонкой раковине видны слабозаметные, исключительно тонкие и близко расположенные друг к другу струйки нарастания, незаметные на фотоизображении. Экземпляры с Д>6 мм имеют довольно широкие волнообразные ребра, покрытые тоненькими струйками (см. табл. І, фиг. 8, 12, 13 и 17). Ребра наклонены вперед на вентральной стороне, где они более рельефные. Сбоку ребро образует угол в $30-40^\circ$ относительно поперечного сечения (см. рис. 3, s; табл. І, фиг. 13 и 17).

Лопастная линия. На рис. 3, а показаны лопастные линии для крупного и мелкого экземпляров. Обе они состоят из четырех лопастей (из них две — боковые и симметрично расположенные). Боковые лопасти трехконечные и книзу расширенные. На крупной раковине лопастная линия имеет расчлененное строение. Седла в полтора раза шире лопастей.

Сравнение. От близких видов — Bochianites neocomiensis d'Orb. и В. undulatus Koenen — вид demissus отличается отсутствием сильнорельефной скульптуры и несколько иной лопастной линией.

Таблпца 2

Размеры обломков, мм							
Номер из	Длина	Д верхне-	Номер из	Длина	Д верхне-		
табл. I	обломка	го конца	табл. І	обломка	го конца		
8	40	10	13	30	41		
9	55	6	14	22	5		
10	40	4,5	15	28	5,5		
11	52	6	16	29	5,5		
12	42	7	17	58	13		

Замечание. На п-ве Пакса Bochianites sp. встречен в нижнем валанжине (сборы и сведения Н. И. Шульгиной, 1967 г.). В Чёшской губе (сборы Е. Г. Юдовного, 1975 г.) этот вид найден с комплексом мелких пелеципод и аммонитов (Polyptychites sp. juv., Dichotomites sp. juv., Buchia sublaevis (Keys.)).

Распространение. Ранний (?) и поздний валанжин Северной

Сибири и поздний валанжин Чёшской губы.

Матернал. 25 обломков раковин разного диаметра (от 3 до 13 мм) на юго-восточном побережье о-ва Бол. Бегичев в темных аргиллитах и залегающих в них песчаных конкрециях (обн. 504, слои В, Д, Е; сборы М. Д. Бурдыкиной).

Род Polyptychites Pavlow, 1892

Polyptychites (Polyptychites) cf. polyptychus Bogosl. (non Keyserling)
Taбπ. II, φur. 1—9

Форма. Раковины мелкие и средние, вздутые, с умеренно объемлющими оборотами, умеренно узким и сравнительно глубоким пупком. Пупковая стенка с закругленным перегибом. Обороты средней толщины, боковые стороны слегка выпуклые, сифональная сторона овально-закругленная. Сечения оборотов овальные.

Скульптура. Рельефные умбональные ребра, от которых поочередно отходят по три вторичных ребра, слегка дугообразно выгнутые назад. При приближении к вентральной стороне ребра наклоняются вперед. Умбональные ребра на некоторых экземплярах значительно приподняты и заострены (табл. II, фиг. 1а, 9а). Первичные ребра разветвляются в нижней трети, затем вторично разветвляются в верхней трети боковой стороны или на ее середине. При $\mathcal{A}=12\div26$ мм коэффициент ветвления равен 3 (табл. 3).

 Π о пастная линия, сохранившаяся на самом маленьком экземиляре (см. табл. II, фиг. 7; рис. 3, ∂), представлена тремя дополнительными лопастями; вентральная лопасть двураздельная, по длине и ширине приблизительно равная боковой лопасти, а первая боковая лопасть вдвое уже и короче боковой.

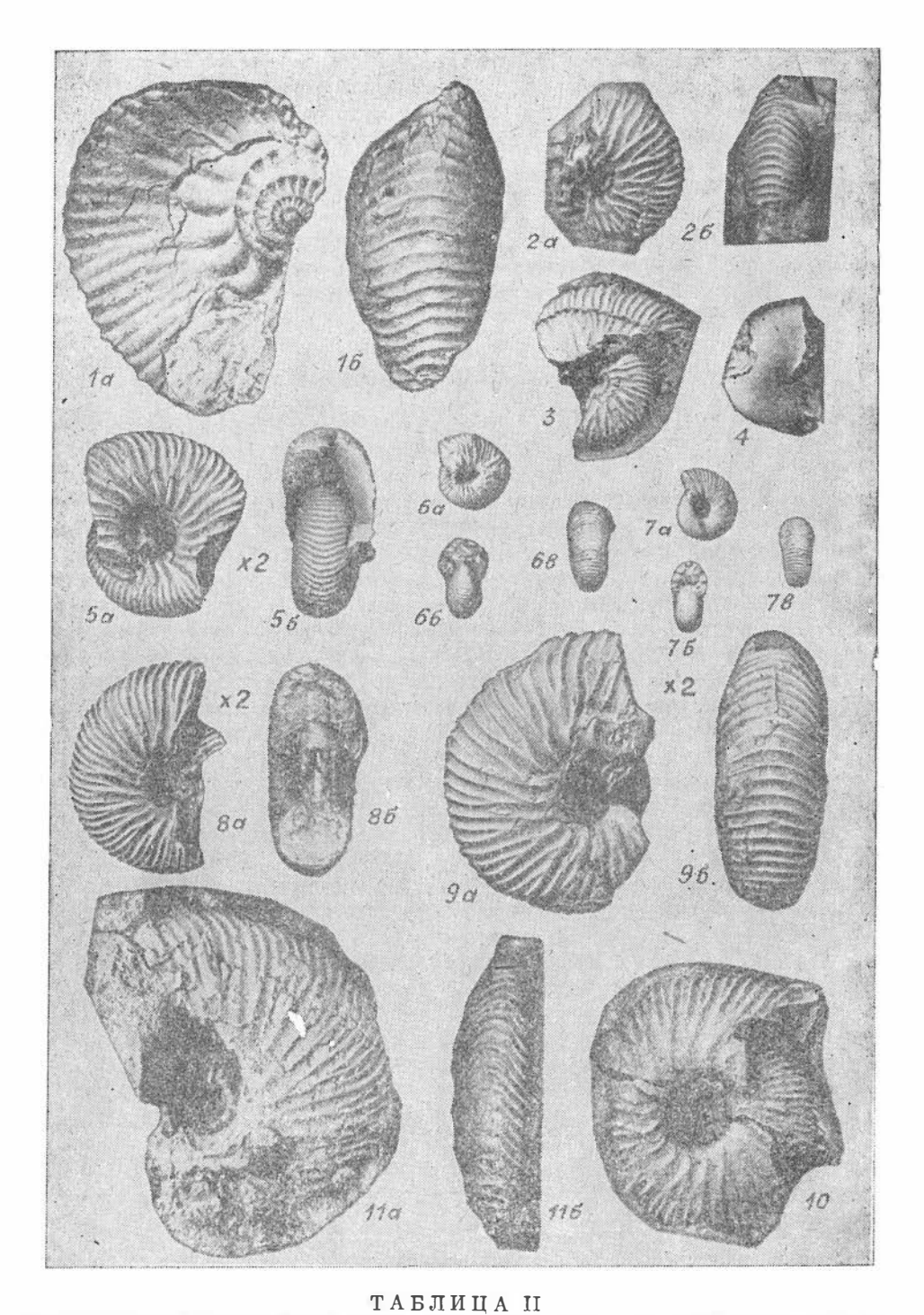
Изменчивость проявляется в слабом колебании относительной толщины оборотов — от 0.43 при Д=21 мм до 0.58 при Z=12 мм.

Сравнения и замечания. Вид описан со знаком сf., так как экземпляры не полностью сохранились. Голотип А. Кейзерлинга при тех же размерах имеет более низкое поперечное сечение ([8], табл. 21, фиг. 2). Описанные нами формы по всем параметрам очень похожи на эк-

Размеры (мм) и отношения

Размеры (мм) и отношения							
Номер из табл. II	Д	В	В	Т	Π	Рч о	
7	11,0	3,0(0,27)	5,0(0,45)	5,2(0,47)	2,8(0,25)	17:5=3,4	
6	12,0	3,5(0,29)	5,2(0,43)	7,0(0,58)	2,5(0,21)		
5	14,5	4,0(0,28)	6,0(0,41)	6,5(0,45) 7,2(0,45)	3,5(0,24)	18:6=3	
8	16,0 21.0	4,0(0,25) 6,6(0,31)	7,5(0,47) 10,0(0,48)	9,0(0,43)	4.0(0,25) 5,2(0,25)	10:0-5	
3	26,0	8,0(0,31)	12.5(0,48)	-	4.5		
1	_	13,0	24,0	22,0	-	16:5=3,2	
Голотип А. Кей- верлинга[8]	23,0	5,0(0,21)	10,0(0,43)	_	6,0(0,26)	15:5=3	

Таблица 3



 Φ иг. 1—3, 5—9. Polyptychites cf. polyptychus (Keys.). Φ иг. 5, 8, 9 (imes2), остальные пзображены в натуральную величину.

Фиг. 1, 5, 6, 8 — обр. 506—3; № (18—21)/11901. Фиг. 7, 9 — обр. 504 Д; № 22/11901 и 23/11901, Фиг. 2, 3 — обр. 506-1; № 24/11901 и 25/11901. Фиг. 7, 9 — обр. 504 Д; № 22/11901 и 23/11901, Фиг. 2, 3 — обр. 506-1; № 24/11901 и 25/11901. Фиг. 4. Phylloceras sp. indet. Натуральная величина. Обр. 504 Д. Вид справа; № 26/11901. Фиг. 10. Dichotomites cf. bidichotomus (Leym). Натуральная величина, 28/11901. Обр. 504 Е; вид справа. Фиг. 11. Homolsomites sp. (Ројсономітея sp.). Натуральная величина. 27/11901. Обр. 628-5; а — вид слева, б — с сифональной стороны.

земпляры с рек Ижмы и Вишеры, изображенные в [1], табл. XIII, фиг. 5 и 6 под названием Olcostephanus cf. polyptychus Keys. Кроме того, они похожи на Olcostephanus diptychus Keys. var. sibirica Sok. с о-ва Преображения, изображенный ([5], табл. 2, фиг. 4а), скорее всего следует относить к виду polyptychus.

Распространение. Поздний валанжин Северной Сибири и

Печорского района.

Материал. 18 мелких ядер и 1 обломок среднего размера сюговосточного побережья о-ва Бол. Бегичев, из мелкооскольчатых аргиллитов (обн. 504, слой Д; обн. 506-3 и 506-1; сборы М. Д. Бурдыкиной).

Pon Dichotomites Koenen, 1909

Dichotomites (Dichotomites) cf. bidichotomus Pavlow (non Leym.)

Табл. II, фиг. 10

Обломок ядра в куске серого мергелистого песчаника из обн. 504, слой Е, имеет сходство с изображенным Н. А. Богословским Оссоstephanus cf. bidichotomus (Leym.) ([1], табл. XIII, фиг. 1; р. Пижма), но несколько меньших размеров (табл. 4). Возраст — поздний валанжин.

Кроме указанных аммонитов на табл. II, фиг. 11 а, б помещен Homolsomites sp. (? Dichotomites sp.) из обн. 628 (бассейн р. Быстрой), найденный в крепком светло-сером известковистом песчанике мощностью 1-2,5 м. Бидихотомное ветвление, сильный изгиб ребер на сифональной стороне, узкий пупок и высокое сечение сближают его с Homolsomites sp. В этом же песчанике найдено большое количество

Таблица 4

Размеры (мм) и отношения							
Образец	д в		Т	п	Рчо		
[1], табл. XIII, фиг. 1	72	32(0,44)	26(0,36)	18(0,25)	22:5=4,4		
504 E	44	19(0,43)	17(0,38)	11 (0,25)	19:5=3,8		

бухий (виды sublaevis, crassicollis) позднего валанжина — раннего

готерива.

На табл. II, фиг. 4 изображен Phylloceras sp. indet.— единичный экземпляр, найденный в обн. 504, слое Д. совместно с Bochianites demissus Bodyl., Neocraspedites giganteus Imlay, Polyptychites (P.) cf. polyptychus (Bogosl.).

ЛИТЕРАТУРА

1. Богословский Н. А. Материалы для изучения нижнемеловой аммонитовой фауны центральной и северной России.— Тр. Геолкома. Нов. серия, 1902, № 2.

2. Бодылевский В. И. Новые виды древних растений и беспозвоночных СССР. Ч. 2. М.: Госгеолтехиздат, 1960.

- 3. Ронкина 3. 3. и др. Результаты тематических исследований на острове Бегичева и полуострове Хара-Тумус в 1959 г.— Инф. бюл. НИИГА, 1959, вып. 17.
- гичева и полуострове Хара-Тумус в 1959 г.— инф. оюл. Ниит А, 1959, вып. 17.

 4. Сакс В. Н. и др. Палеозоогеография морей бореального пояса в юре и неокоме.— В кн.: Пробл. общей и регион. геол. Новосибирск: Наука, 1971.

 5. Соколов Д. Н. Мезозойские окаменелости с о-ва Преображения и о-ва Бегичева.— Тр. Геол. музея АН, 1910, т. 4, вып. 3.

 6. Іміау R. W. Ammonites of Early Cretaceous Age (Valanginian and Hauterivian) from the Pacific Coast States. U. S. Geol. Surv. Prof., 1960.

 7. Jeletzky J. A. Lower cretaceous marine index fossils of the sedimentary basing of Western and Arctic Capada Coal.

sins of Western and Arctic Canada. Geol. Surv. Canada, 1964.

Keyserling A. Wissenschatliche Beobachtungen auf einer Reise in das Petschora.—Land, St. Peterburg, 1846.
 Treatise on Invertebrate Paleontology, pt. L. Mollusca, 1957, v. 4.

Севморгео Ленинград Поступила в редакцию 12 марта 1980 г.

M. D. Burdykina

VALANGINIAN AMMONITES OF BOLSHOI BEGICHEV ISLAND

A Valanginian section is presented and ammonites Bochianites demissus Bodyl., Neocraspedites giganteus Imlay, Polyptychites (P) cf. polyptychus Bogosl. (non Keys.), Dichotomites (D.) cf. bidichotomus Pavl. (non Leym.) are described and illustrated.